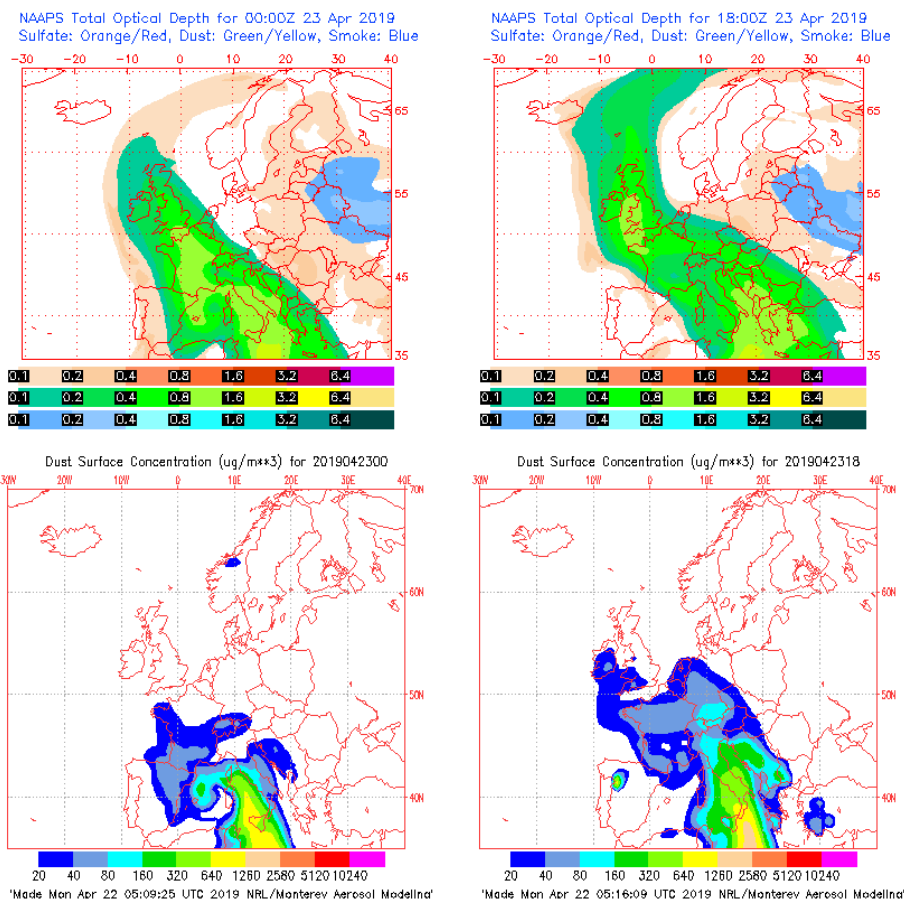


Predicción de intrusión de masas de aire africano sobre España, para el día 23 de abril de 2019

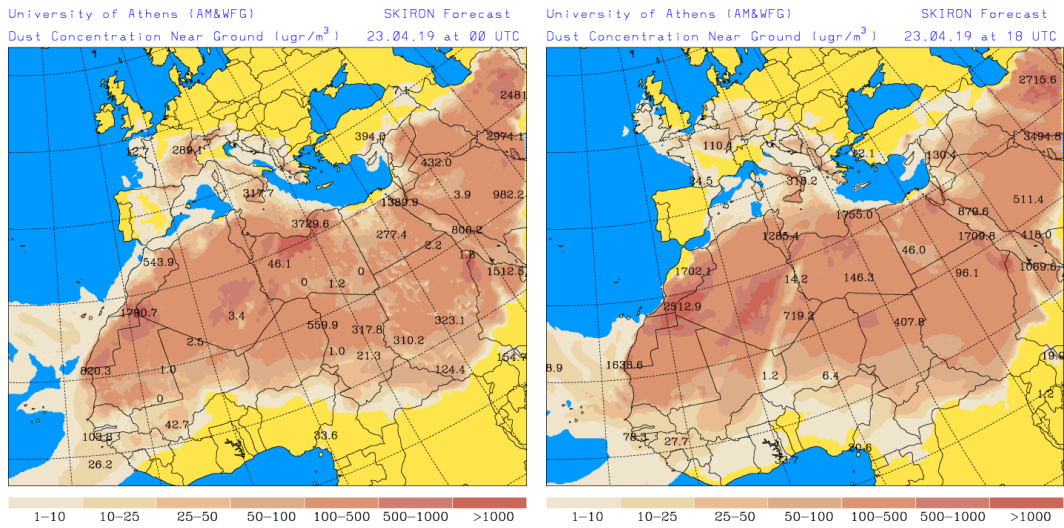
Para las primeras horas del próximo día 23 de abril, se prevé que puedan producirse importantes aportes de polvo mineral africano en el rango $10\text{-}320\ \mu\text{g}/\text{m}^3$, en zonas del noreste peninsular y de las islas baleares. Algunos modelos sugieren que también podrían producirse aportes de polvo más reducidos (entre $20\ \text{y}\ 80\ \mu\text{g}/\text{m}^3$) en zonas de levante y del centro de la Península. En cualquier caso, la previsible entrada de un frente de masas de aire de origen atlántico producirá una drástica reducción de dichos aportes a lo largo del día. Durante la primera mitad del día se prevé que también puedan tener lugar intensos eventos de depósito húmedo de polvo en amplias zonas del noreste, de levante y del centro de la Península así como del archipiélago balear. Por la tarde en cambio, podrían producirse episodios de depósito seco de polvo en zonas aisladas del tercio oriental de la Península.

23 de abril de 2019

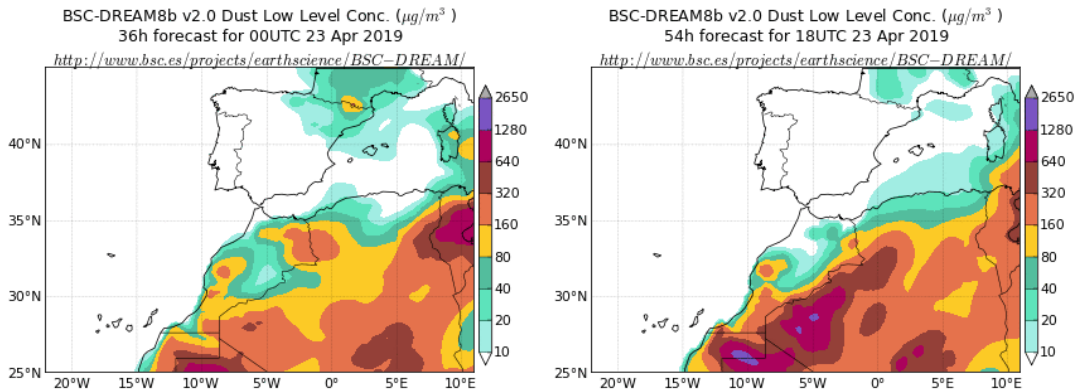
Espesor óptico de aerosoles a 550 nm (arriba) y concentración de polvo a nivel de superficie (abajo) previstos por el modelo NAAPS para el día 23 de abril de 2019 a las 00 (izquierda) y a las 18 (derecha) UTC. ©Naval Research Laboratory (NRL), Monterey, CA



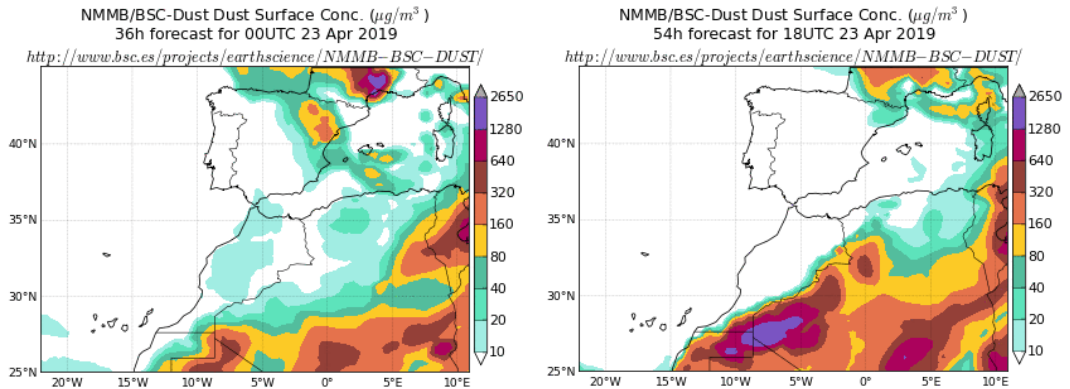
Concentración de polvo ($\mu\text{gr}/\text{m}^3$) predicha por el modelo Skiron para el día 23 de abril de 2019 a las 00 (izquierda) y a las 18 UTC (derecha). © Universidad de Atenas.



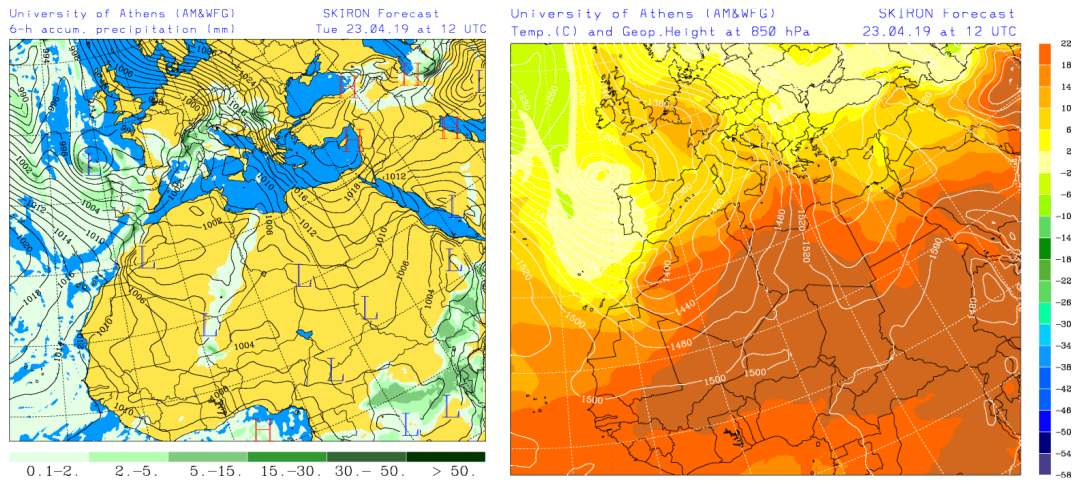
Concentración de polvo ($\mu\text{g}/\text{m}^3$) predicha por el modelo BSC-DREAM8b v2.0 para el día 23 de abril de 2019 a las 00 (izquierda) y a las 18 UTC (derecha). © Barcelona Supercomputing Center.



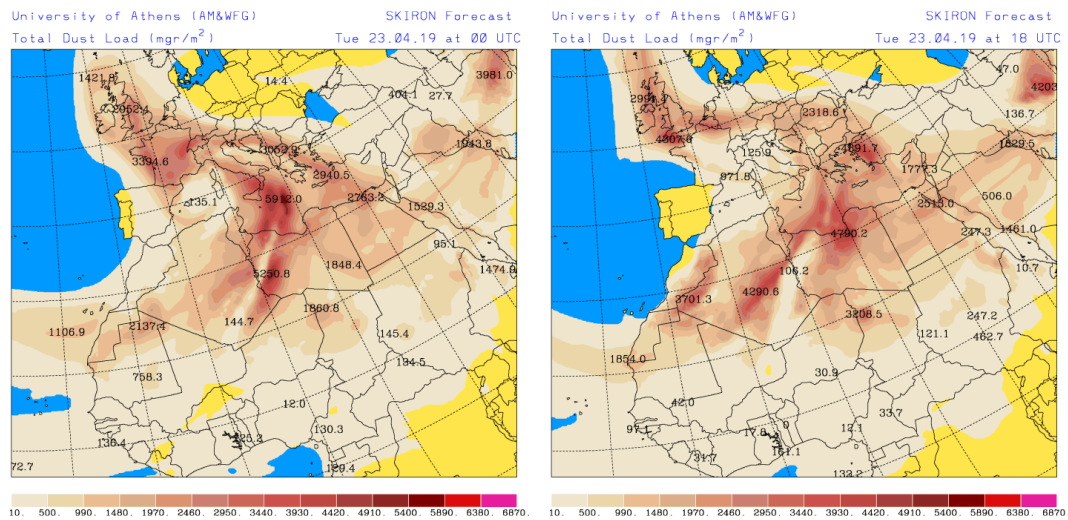
Concentración de polvo ($\mu\text{g}/\text{m}^3$) predicha por el modelo NMMB/BSC-Dust para el día 23 de abril de 2019 a las 00 (izquierda) y a las 18 UTC (derecha). © Barcelona Dust Forecast Center.



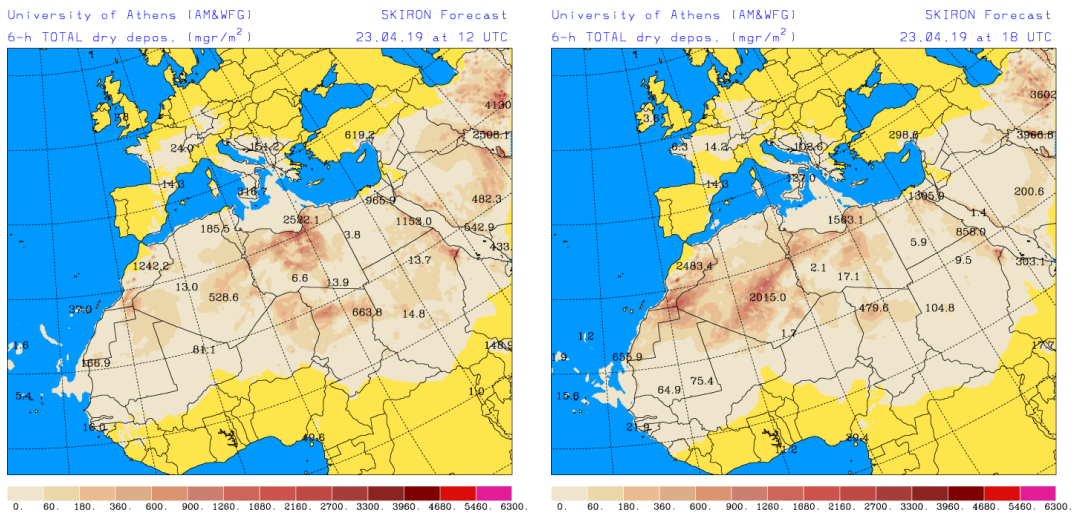
Campo de presión a nivel del mar (mb) y de precipitación (mm) (izquierda) y de temperaturas (°C) y de altura de geopotencial (m) a 850 hPa (derecha) previsto por el modelo Skiron para el día 23 de abril de 2019 a las 12 UTC. © Universidad de Atenas.



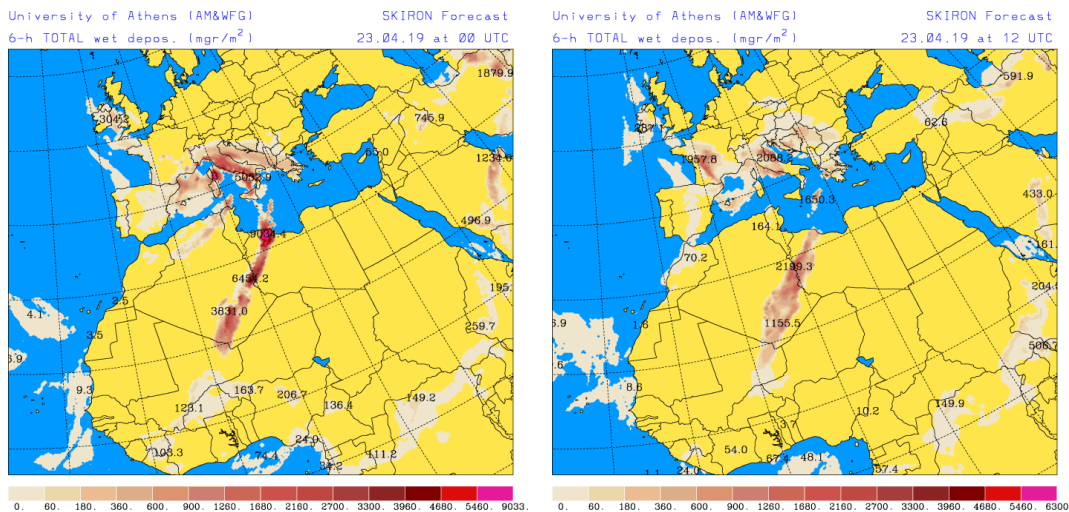
Carga total de polvo (mgr/m^2) predicha por el modelo Skiron para el día 23 de abril de 2019 a las 00 (izquierda) y a las 18 UTC (derecha). © Universidad de Atenas.



Depósito seco de polvo (mg/m^2) predicho por el modelo Skiron para el día 23 de abril de 2019 a las 12 (izquierda) y a las 18 UTC (derecha). © Universidad de Atenas.



Depósito húmedo de polvo (mg/m^2) predicho por el modelo Skiron para el día 23 de abril de 2019 a las 00 (izquierda) y a las 12 UTC (derecha). © Universidad de Atenas.



Durante la primera mitad del día 23 de abril se prevé que puedan tener lugar intensos eventos de depósito húmedo de polvo en amplias zonas del noreste, de levante y del centro de la Península así como del archipiélago balear. Por la tarde en cambio, podrían producirse episodios de depósito seco de polvo en zonas aisladas del tercio oriental de la Península.

Fecha de elaboración de la predicción: 22 de abril de 2019

Predicción elaborada por Pedro Salvador (CIEMAT)

Los datos son propiedad de la Dirección General de Calidad y Evaluación Ambiental, del Ministerio para la Transición Ecológica, y han sido obtenidos y se suministran en el marco del “Encargo del Ministerio para la Transición Ecológica a la Agencia Estatal Consejo Superior de Investigaciones Científicas para la detección de episodios naturales de aportes transfronterizos de partículas y otras fuentes de contaminación de material particulado, y de formación de ozono troposférico”.